



Оригинальные статьи

Научная статья

УДК 546 (711.681.682.24)

<https://doi.org/10.17308/kcmf.2022.24/9856>Фазовые равновесия в системе $\text{MnTe}-\text{MnGa}_2\text{Te}_4-\text{MnIn}_2\text{Te}_4$ Ф. М. Мамедов¹✉, С. З. Имамалиева¹, Я. И. Джафаров², И. Б. Бахтиярлы¹, М. Б. Бабанлы¹¹Институт катализа и неорганической химии им. М. Нагиева Национальной академии наук Азербайджана, пр. Г. Джавида, 113, Баку Az1143, Азербайджан²Бакинский государственный университет, ул. З. Халилова, 23, Баку AZ- 1148, Азербайджан

Аннотация

Семейство соединений с общей формулой AB_2X_4 (A – Mn, Fe, Co, Ni; B – Ga, In, Sb, Bi; X – S, Se, Te) и сложные фазы переменного состава на их основе относятся к перспективным функциональным материалам, проявляющим термоэлектрические, фотоэлектрические, оптические и магнитные свойства. В данной работе продолжено исследование многокомпонентных систем на основе халькогенидов переходных металлов и представлены результаты исследования фазовых равновесий в системе $\text{MnTe}-\text{MnGa}_2\text{Te}_4-\text{MnIn}_2\text{Te}_4$ методами дифференциального термического и рентгенофазового анализа.

На основании экспериментальных результатов построены политермические сечения $\text{MnTe}-\text{MnGaInTe}_4$ и $\text{MnGa}_2\text{Te}_4-[A]$ ([A] – двухфазный сплав боковой системы $2\text{MnTe}-\text{MnIn}_2\text{Te}_4$ состава 50 мол. % MnIn_2Te_4), изотермическое сечение при 800 К фазовой диаграммы и проекция поверхности ликвидуса. Установлено, что ликвидус состоит из полей первичной кристаллизации 4 фаз: 1 – Mn-ht; 2 – фазы на основе различных модификаций MnTe; 3 – γ_1 ; 4 – γ_2 . Определены типы и координаты нон- и моновариантных равновесий.

На основе тройных (MnGa_2Te_4 , MnIn_2Te_4) соединений выявлены широкие области твердых растворов, представляющие интерес как магнитные материалы.

Ключевые слова: теллурид марганца-галлия, теллурид марганца-индия, фазовая диаграмма, поверхность ликвидуса, твердые растворы, магнитные материалы

Источник финансирования: работа выполнена в рамках научной программы международной лаборатории «Перспективные материалы для спинтроники и квантовых вычислений», созданной на базе Института катализа и неорганической химии НАНА (Азербайджан), Международного физического центра Доноestia (Испания) и частичной финансовой поддержке Фонда развития науки при президенте Азербайджанской Республики – грант № EIF-BGM-4-RFTF-1/2017-21/11/4-M-12.

Для цитирования: Мамедов Ф. М., Имамалиева С. З., Джафаров Я. И., Бахтиярлы И. Б., Бабанлы М. Б. Фазовые равновесия в системе $\text{MnTe}-\text{MnGa}_2\text{Te}_4-\text{MnIn}_2\text{Te}_4$. *Конденсированные среды и межфазные границы*. 2022;24(3): 335–344. <https://doi.org/10.17308/kcmf.2022.24/9856>

For citation: Mammadov F. M. Imamaliyeva S. Z., Jafarov Ya. I., Bakhtiyarly I. B., Babanly M. B. Phase equilibria in the $\text{MnTe}-\text{MnGa}_2\text{Te}_4-\text{MnIn}_2\text{Te}_4$ system. *Condensed Matter and Interphases*. 2022;24(3): 335–344. <https://doi.org/10.17308/kcmf.2022.24/9856>

✉ Фаик Мамедага Мамедов, e-mail: faikmammadov@mail.ru

© Мамедов Ф. М., Имамалиева С. З., Джафаров Я. И., Бахтиярлы И. Б., Бабанлы М. Б., 2022



Контент доступен под лицензией Creative Commons Attribution 4.0 License.

1. Введение

Семейство соединений с общей формулой AB_2X_4 (A – Mn, Fe, Co, Ni; B – Ga, In, Sb, Bi; X – S, Se, Te) [1–8] и сложные фазы переменного состава на их основе [9–12] вызывает значительный интерес в последние три десятилетия. Эти магнитные соединения, содержащие три катиона металла вокруг каждой позиции аниона, в то время как четвертая пустая позиция образует упорядоченный массив вакансий, могут существовать в различных кристаллических структурах и демонстрируют ряд физических и химических свойств, связанных с кристаллографически упорядоченным массивом этих вакансий. Кроме того, наличие в этих соединениях магнитных ионов Fe^{+2} и Mn^{+2} делает их очень интересными с точки зрения их магнитооптических свойств. Согласно результатам работ [1–6], эти соединения проявляют термоэлектрические, фотоэлектрические и оптические свойства.

Исследования последних лет показали что, некоторые слоистые соединения типа AB_2X_4 обладают свойствами магнитного и топологического изолятора [13–24]. Подобное сочетание магнитных и топологических свойств потенциально приводит к развитию многофункциональных электронных и спинтронных компонентов, обещающих улучшение энергоэффективности и вычислительных возможностей.

Вышеизложенное показывает актуальность исследований, направленных на получение и изучение свойств твердых растворов на основе соединений типа AB_2X_4 .

Поиск и разработка методов направленного синтеза новых многокомпонентных фаз и материалов базируются на надежных данных по фазовым равновесиям в соответствующих системах [25–27].

В представленной статье продолжено исследование многокомпонентных систем на основе

халькогенидов переходных металлов [28–31] и представлены результаты исследования фазовых равновесий в системе $MnTe-MnGa_2Te_4-MnIn_2Te_4$.

1.1. Исходные соединения

Результаты исследования исходных бинарного и тройных соединения исследуемой системы представлены в ряде работ [32–35]. Теллурид $MnTe$ плавится инконгруэнтно по перитектической реакции при 1425 К. Этому соединению присущи несколько полиморфных переходов [32, 33]. Кристаллографические параметры различных модификаций этого соединения представлены в табл. 1.

Два других соединения этой системы – $MnGa_2Te_4$ и $MnIn_2Te_4$, плавятся конгруэнтно при 1083 К [34] и 1025 К [35] соответственно. Первое кристаллизуется в псевдо-тетрагональной, а второе – тетрагональной структуре (табл. 1).

1.2. Граничные квазибинарные системы

Новый уточненный вариант фазовой диаграммы системы $MnTe-MnGa_2Te_4$ приведен в работе [34], согласно которому она относится к эвтектическому типу и имеет следующие координаты эвтектики: 84 мол. % $MnGa_2Te_4$ и 1070 К.

Диаграмма состояния другой граничной системы $MnTe-MnIn_2Te_4$ тоже эвтектического типа с координатами эвтектики: 90 мол. % $MnIn_2Te_4$ и 1015 К [35].

Система $MnGa_2Te_4-MnIn_2Te_4$ изучена авторами [30] (рис. 1). Установлено, что она квазибинарна и характеризуется образованием широких областей твердых растворов на основе исходных соединений. Фаза состава $MnGaInTe_4$ имеет максимальную температуру (1030 К) и кристаллизует в тетрагональной сингонии (табл. 1). Сравнение кристаллических решеток $MnGaInTe_4$ и изоструктурного с ним тройного соединения $MnIn_2Te_4$ показало [30], что они существенно различаются по характеру заселения кристаллогра-

Таблица 1. Кристаллографические данные бинарных и тройных фаз системы $MnTe - MnGa_2Te_4 - MnIn_2Te_4$

Фазы	Сингония, пространственная группа и параметры решетки, нм	Источник
$MnTe - rt$	гексагональная, $P6_3/mmc$: $a = 0.41498, c = 0.67176$ нм	[36]
$MnTe - it$	кубическая, $F\bar{4}3m$: $a = 0.634$ нм	[36]
$MnTe - ht$	гексагональная, $P6_3/mmc$: $a = 0.4148, c = 0.6721$ нм	[36]
$MnGa_2Te_4$	псевдо-тетрагональная: $a = b = 0.847, c = 4.83$ нм	[37]
	моноклинная, $C/2c$: $a = b = 1.1999$ нм, $c = 2.4922$ нм	[38]
$MnIn_2Te_4$	тетрагональная, $I-42m$: $a = 0.619490(5), c = 1.23956(2)$ нм	[30]
$MnGaInTe_4$	тетрагональная, $I-42m$: $a = 0.610293(7), c = 1.21766(2)$ нм	[30]

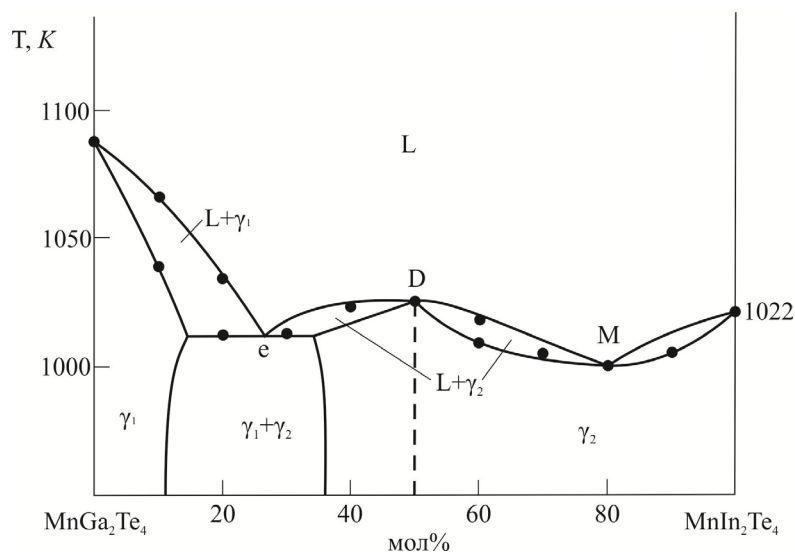


Рис. 1. Фазовая диаграмма системы $\text{MnGa}_2\text{Te}_4-\text{MnIn}_2\text{Te}_4$ [30]

фических позиций, и MnGaInTe_4 может быть охарактеризован как упорядоченная фаза.

2. Экспериментальная часть

2.1. Синтез

Исходные соединения исследуемой системы MnTe , MnGa_2Te_4 и MnIn_2Te_4 были синтезированы сплавлением стехиометрических количеств элементарных компонентов высокой степени чистоты (марганец, номер по каталогу 7439-96-5, индий – 7440-74-6, галлий – 7440-55-3 и теллур – 13494-80-9), приобретенные у немецкой фирмы Alfa Aesar. Синтезы проводили в запаянных и эвакуированных до остаточного давления 10^{-2} Па кварцевых ампулах при температурах на 20 К выше температур плавления в течение 8 ч. Затем печь выключали. Для предотвращения взаимодействия кварца с марганцем синтез исходных соединений и промежуточных сплавов исследуемой системы проводили в графитизированных ампулах. Графитизирование проводили термическим разложением толуола.

Однофазность синтезированных соединений была подтверждена методами дифференциального термического анализа (ДТА) и рентгенофазового анализа (РФА).

Согласно данным ДТА, температуры плавления MnTe , MnGa_2Te_4 и MnIn_2Te_4 равны 1425 ± 3 К, 1083 ± 3 К и 1025 ± 3 К соответственно, что совпадает с результатами работ [32–35].

На основании данных РФА рассчитаны кристаллографические параметры решеток, которые хорошо согласуются с литературными [36, 37, 30], (табл. 1):

MnTe –rt – гексагональная, пр.гр. $P63/mmc$:
 $a = 0.41488(4)$, $c = 0.67166(6)$ нм;

MnGa_2Te_4 – псевдо-тетрагональная:
 $a = b = 0.84851(8)$, $c = 4.8402(2)$ нм;

MnIn_2Te_4 – тетрагональная, $I-42m$: $a = 0.61949(5)$; $c = 1.23956(2)$ нм;

MnGaInTe_4 – тетрагональная, $I-42m$:
 $a = 0.610293(7)$; $c = 1.21766(2)$ нм.

Сплавы системы $\text{MnTe}-\text{MnGa}_2\text{Te}_4-\text{MnIn}_2\text{Te}_4$ (рис. 2) были синтезированы сплавлением вышеуказанных соединений в различных соотношениях в эвакуированных кварцевых ампулах с последующим длительным (500 ч) термическим отжигом при 800 К. С целью построения диаграммы твердофазных равновесий ряд сплавов закаливали вбрасыванием ампул в холодную воду.

2.2. Методы исследования

ДТА проводили на установке Netzsch STA 449 F3 (платин-платино/родиевые термпары) в интервале температур от комнатной до ~ 1450 К со скоростью нагревания 10 К·мин $^{-1}$.

РФА проводили снятием порошкограмм на дифрактометре «D2 Phaser». Расчет и уточнение параметров кристаллических решеток проводили с помощью программ EVA и TOPAS 4.2 (фирма Bruker, Германия, $\text{CuK}\alpha$ -излучение, интервал углов $5^\circ \leq 2\theta \leq 80^\circ$, скорость съемки $0.03^\circ \times 0.2$ мин).

3. Результаты и обсуждение

На основании обработки совокупности экспериментальных и литературных данных по граничным системам [30, 34, 35] получена общая взаимосогласованная картина фазовых равновесий в системе $\text{MnTe}-\text{MnGa}_2\text{Te}_4-\text{MnIn}_2\text{Te}_4$. В та-

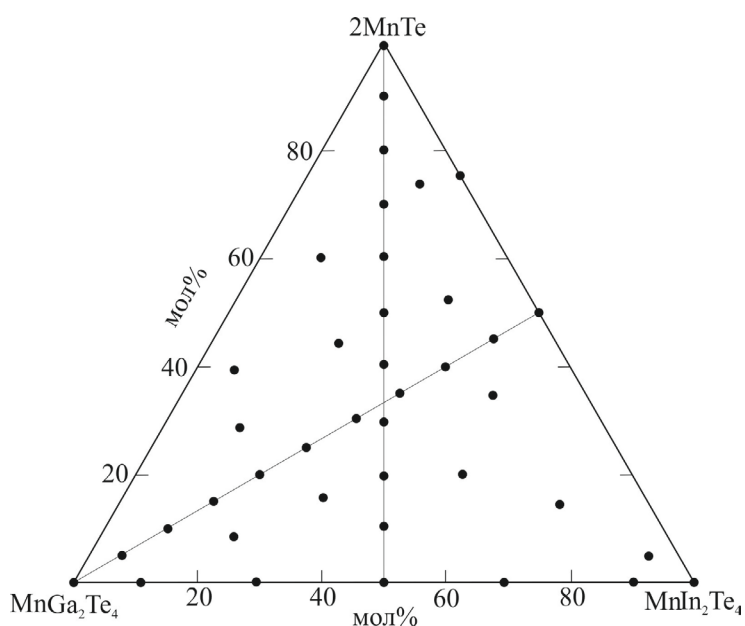


Рис. 2. Составы исследованных образцов в системе MnTe–MnGa₂Te₄–MnIn₂Te₄

блицах и рисунках, а также в тексте статьи твердые растворы на основе соединений и их различных модификации имеют следующие обозначение: α – MnTe-*lt*, γ₁ – MnGa₂Te₄, γ₂ – MnIn₂Te₄.

3.1. Твердофазные равновесия в системе MnTe–MnGa₂Te₄–MnIn₂Te₄

На основании данных РФА закаленных от 800 К образцов построена диаграмма твердофазных равновесий системы MnTe–MnGa₂Te₄–MnIn₂Te₄ при 800 К (рис. 3). Как видно, в системе образуются широкие поля твердых растворов на основе тройных соединений MnGa₂Te₄ (γ₁) и MnIn₂Te₄ (γ₂). Эти фазы имеют вид полос шириной 2–4 мол. % и длиной 15 и 65 мол. % соответственно вдоль граничной системы MnGa₂Te₄–MnIn₂Te₄. На основе низкотемпературной модификации MnTe α-фаза занимает узкое поле (5–6 мол. %) у соответствующего угла. Перечисленные фазы образуют между собой ряд двухфазных полей: α+γ₁, α+γ₂ и γ₁+γ₂, разграниченных трехфазной областью α+γ₁+γ₂.

Все фазовые поля, показанные на рис. 3, были подтверждены методом РФА. На рис. 4 приведены порошковые дифрактограммы трех сплавов из различных фазовых областей. Как видно, фазовые составы этих образцов соответствуют представленной на рис. 3 картине твердофазных равновесий.

3.2. Поверхность ликвидуса

Проекция поверхности ликвидуса системы MnTe–MnGa₂Te₄–MnIn₂Te₄ состоит из четырех

полей первичной кристаллизации (рис. 5). Наличие поля (1), соответствующего первичной кристаллизации высокотемпературной модификации марганца, не являющегося компонентом данной системы, объясняется образованием MnTe по перитектической реакции L + Mn-*ht* ↔ MnTe-*ht* [32]. Поле (2) отвечает кристаллизации твердых растворов на основе различных модификаций MnTe. Остальные два поля принадлежат γ₁- и γ₂-фазам. Указанные поля разграничены рядом кривых моновариантных равновесий и точек невариантных равновесий. Типы и координаты невариантных и моновариантных равновесий приведены в табл. 2.

Таблица 2. Нонвариантные и моновариантные равновесия в системе MnTe–MnGa₂Te₄–MnIn₂Te₄

Точка или кривая на рис. 5	Равновесие	T, К
D	L ↔ γ ₂ (MnGaInTe ₄)	1030
M	L ↔ γ ₂	1005
e ₁	L ↔ γ ₁ + γ ₂	1012
e ₂	L ↔ γ ₁ + α	1060
e ₃	L ↔ γ ₂ + α	1015
e ₄	L ↔ γ ₂ + α	1018
e ₅	L ↔ γ ₂ + α	1310
E	L ↔ α + γ ₁ + γ ₂	997
e ₂ E	L ↔ α + γ ₁	1060–997
e ₁ E	L ↔ γ ₁ + γ ₂	1012–997
e ₄ E	L ↔ α + γ ₂	1018–997
e ₃ e ₅	L ↔ γ + γ ₂	1015–995
e ₄ e ₅	L ↔ α + γ ₂	1018–995

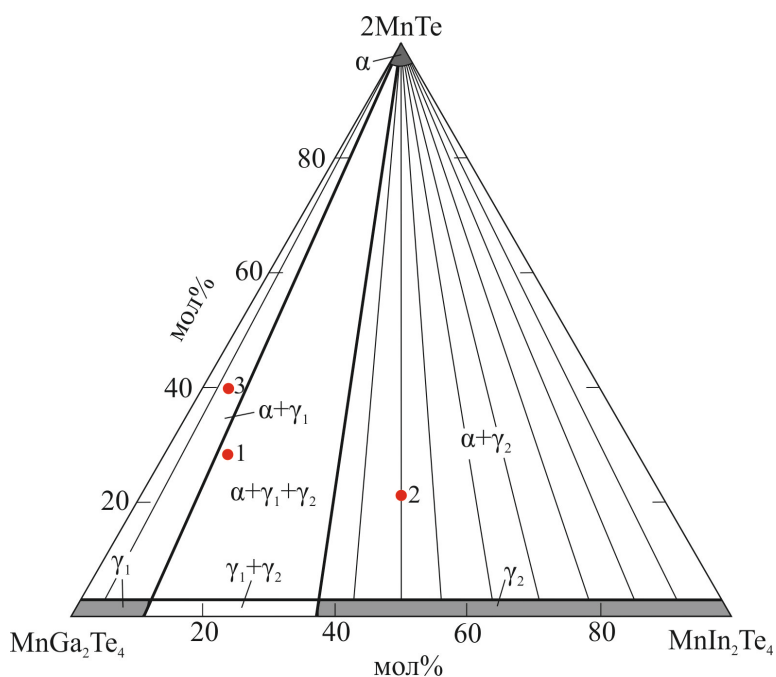


Рис. 3. Диаграмма твердофазных равновесий системы $\text{MnTe}-\text{MnGa}_2\text{Te}_4-\text{MnIn}_2\text{Te}_4$ при 800 К. ·1-3 сплавы, для которых на рис. 4. приведены порошковые дифрактограммы

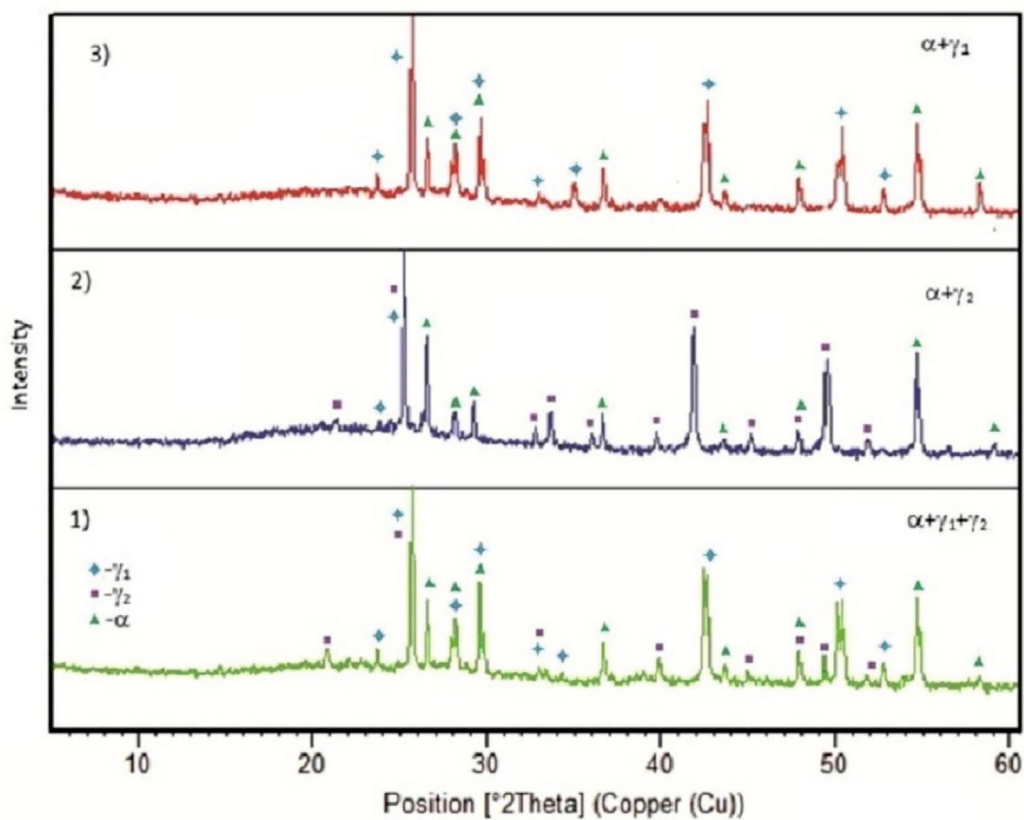


Рис. 4. Порошковые дифрактограммы сплавов (1-3) системы $\text{MnTe}-\text{MnGa}_2\text{Te}_4-\text{MnIn}_2\text{Te}_4$, указанных на рис. 3

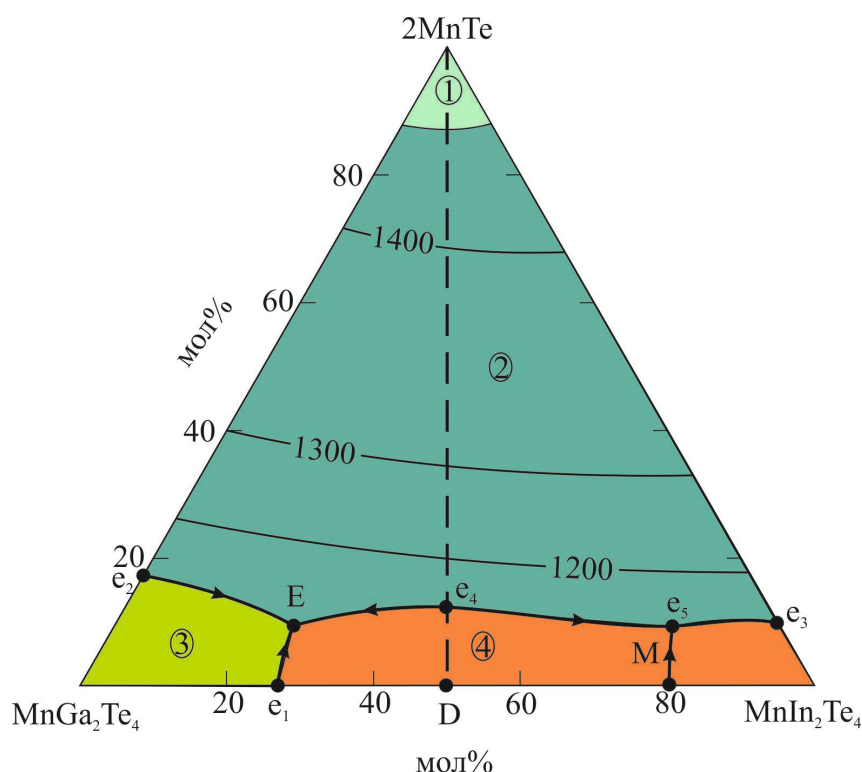


Рис. 5. Проекция поверхности ликвидуса системы $\text{MnTe}-\text{MnGa}_2\text{Te}_4-\text{MnIn}_2\text{Te}_4$. Поля первичной кристаллизации фаз: 1 – Mn-ht; 2 – фазы на основе различных модификаций MnTe; 3 – γ_1 ; 4 – γ_2

Система $\text{MnTe}-\text{MnGa}_2\text{Te}_4-\text{MnIn}_2\text{Te}_4$ имеет один частично квазибинарный разрез (рис. 5, пунктирная линия), который делит ее на 2 подсистемы. Подсистема $\text{MnTe}-\text{MnGa}_2\text{Te}_4-\text{MnGaInTe}_4$ относится к невариантному эвтектическому (E) типу, а подсистема $\text{MnTe}-\text{MnGaInTe}_4-\text{MnIn}_2\text{Te}_4$ относится к моновариантному эвтектическому типу. Следует отметить, что γ_2 -фаза состава MnGaInTe_4 имеет максимальную точку плавления, равную 1030 К. Как показано в [30] характер заселения атомами кристаллографических позиций в MnGaInTe_4 дает основание рассматривать его как упорядоченную фазу. Учитывая, что фаза MnGaInTe_4 находится в невариантном эвтектическом равновесии с α -фазой на основе MnTe-rt (рис. 5, точка e_4), этот разрез можно считать частично квазибинарным.

3.3. Политермические разрезы

Разрез $\text{MnTe}-\text{MnGaInTe}_4$ (рис. 6) частично квазибинарный. Ликвидус состоит из трех кривых. В области составов, богатых MnTe (> 90 мол. %), из расплава кристаллизуется Mn-ht, в интервале 13–90 мол. % MnTe – твердые растворы на основе различных модификаций монотеллурида марганца, а в интервале 0–15 мол. % MnTe- γ_2 -фаза. Образование твер-

дых растворов на основе MnTe приводит к понижению температур его полиморфных переходов и установлением метатектических равновесий. Координаты эвтектики (e_4) – 13 мол. % MnTe и 1018 К.

Разрез $\text{MnGa}_2\text{Te}_4-[A]$ (рис.7), где [A] - двухфазный сплав боковой системы $2\text{MnTe}-\text{MnIn}_2\text{Te}_4$ состава 50 мол. % MnIn_2Te_4 . Данный разрез пересекает частично квазибинарное сечение $2\text{MnTe}-\text{MnGaInTe}_4$ и проходит через поля первичной кристаллизации твердых растворов на основе различных кристаллических модификаций MnTe и γ_1 -фазы. Ниже ликвидуса протекают моновариантные эвтектические реакции: $L \leftrightarrow \alpha + \gamma_1$ (55–97 мол. % MnGa_2Te_4) и $L \leftrightarrow \alpha + \gamma_2$ (< 55 мол. % MnGa_2Te_4). В точках экстремумов (составы 10 и 33.3 мол. % MnGa_2Te_4) вторая реакция невариантна. В ходе указанных эвтектических процессов формируются трехфазные поля: $L + \alpha + \gamma_1$ и $L + \alpha + \gamma_2$ (рис. 7). В интервалах составов 0–48 и 80–97 мол. % MnGa_2Te_4 кристаллизация завершается образованием двухфазных смесей: $\alpha + \gamma_2$ и $\alpha + \gamma_1$ соответственно. В интервале 48–80 мол. % MnGa_2Te_4 кристаллизация протекает по невариантной эвтектической реакции $L_E \leftrightarrow \alpha + \gamma_1 + \gamma_2$, приводящая к образованию в субликвидусе трехфазной области $\alpha + \gamma_1 + \gamma_2$.

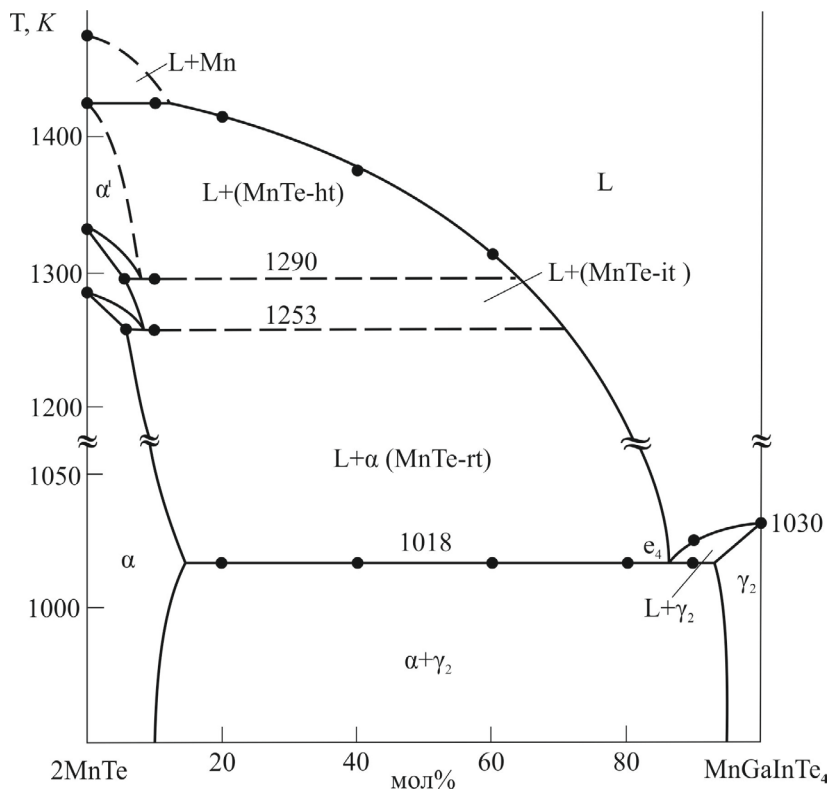


Рис. 6. Политермический разрез $2\text{MnTe}-\text{MnGaInTe}_4$

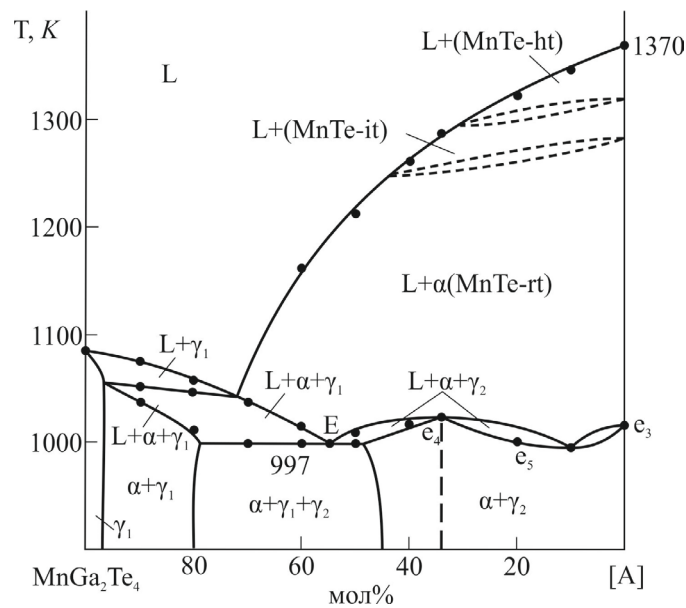


Рис. 7. Политермический разрез $\text{MnGa}_2\text{Te}_4-[A]$, [A] - сплав системы $2\text{MnTe}-\text{MnIn}_2\text{Te}_4$ состава 50 мол. % MnIn_2Te_4

4. Заключение

Фазовые равновесия в системе $\text{MnTe}-\text{MnGa}_2\text{Te}_4-\text{MnIn}_2\text{Te}_4$ изучены методами ДТА и РФА. Построены проекция поверхности ликвидуса данной системы, изотермическое сечение при 800 К и внутренние политермические разрезы $2\text{MnTe}-\text{MnGaInTe}_4$ и $\text{MnGa}_2\text{Te}_4-[A]$ фазовой

диаграммы. Показано, что поверхности ликвидуса соответствуют 4 поля первичной кристаллизации фаз. Определены типы и координаты нон- и моновариантных равновесий. В системе выявлены широкие области твердых растворов по разрезу $\text{MnGa}_2\text{Te}_4-\text{MnIn}_2\text{Te}_4$ (10 и 65 мол. % соответственно) представляющие практиче-

ский интерес как потенциальные магнитные материалы.

Заявленный вклад авторов

Мамедов Ф. М. – концепция исследования, написание статьи, обсуждение результатов. Имамалиева С. З. – анализ литературы, синтез соединений, проведение исследований. Джафаров Я. И. – анализ литературы, обсуждение результатов. Бахтиярлы И. Б. – обсуждение результатов. Бабанлы М. Б. – научное руководство, концепция исследования, итоговые выводы.

Конфликт интересов

Авторы заявляют, что у них нет известных финансовых конфликтов интересов или личных отношений, которые могли бы повлиять на работу, представленную в этой статье.

Список литературы

- Hyun Jung K., Anand P. T., Eunhee H., Yunhee C., Heemin H., Sora B., Yeseul H., Hyoyoung L. FeIn_2S_4 nanocrystals: a ternary metal chalcogenide material for ambipolar field-effect transistors. *Advance Science*. 2018;1800068 (1–8). <https://doi.org/10.1002/advs.201800068>
- Gao M. R., Xu Y. F., Jiang J., Yu S. H. Nanostructured metal chalcogenides: synthesis, modification, and applications in energy conversion and storage devices. *Chemical Society Reviews*. 2013;42(7): 2986–3017. <https://doi.org/10.1039/C2CS35310E>
- Xia C., Li J. SnS thin films deposited by chemical bath deposition, dip coating and SILAR techniques. *Journal of Semiconductors*. 2016;37(5): 051001(1–9). <https://doi.org/10.1088/1674-4926/37/5/053001>
- Karthikeyan N., Aravindsamy G., Balamurugan P., Sivakumar K. Thermoelectric properties of layered type FeIn_2Se_4 chalcogenide compound. *Materials Research Innovations*. 2018;22(5): 278–281. <https://doi.org/10.1080/14328917.2017.1314882>
- Niftiyev N. N., Mamedov F. M., Quseynov V. I., Kurbanov S. Sh. AC electrical conductivity of FeIn_2Se_4 single crystals. *Semiconductors*. 2018;52(6): 683–685. <https://doi.org/10.1134/S1063782618060167>
- Hwang Y., Choi J., Ha Y., Cho S., Park H. Electronic and optical properties of layered chalcogenide FeIn_2Se_4 . *Current Applied Physics*. 2020; 20(1): 212–218. <https://doi.org/10.1016/j.cap.2019.11.005>
- Yang J., Zhou Z., Fang J., Wen H., Lou Z., Shen G., Wei Z. Magnetic and transport properties of a ferromagnetic layered semiconductor MnIn_2Se_4 . *Applied Physics Letters*. 2019;115(22): 222101(1–4). <https://doi.org/10.1063/1.5126233>
- Sagredo V., Torres T. E., Delgado G. E., Rincón C. Effect of the paramagnetic to spin-glass phase transition on the fundamental absorption edge of MnIn_2Se_4 magnetic semiconducting compound. *Revista Mexicana de Física*. 2019;65(1): 14–19. <https://doi.org/10.31349/RevMexFis.65.14>
- Djietedjeu H., Lopez J. S., Lu R., Buchanan B., Zhou X., Chi H., Ranmohotti K. G. S., Uher C., Poudeu P. F. Charge disproportionation triggers bipolar doping in $\text{FeSb}_{2-x}\text{Sn}_x\text{Se}_4$ ferromagnetic semiconductors, enabling a temperature-induced Lifshitz transition. *Journal of the American Chemical Society*. 2019;141(23): 9249–9261. <https://doi.org/10.1021/jacs.9b01884>
- Djietedjeu H., Zhou X., Chi H., Haldolaarachchige N., Ranmohott K. G. S., Uher C., Young D., Poudeu P. F. Donor and acceptor impurity-driven switching of magnetic ordering in $\text{MnSb}_{2x}\text{Sn}_x\text{Se}_4$. *Journal of Materials Chemistry C*. 2014;2(30): 6199–6210. <https://doi.org/10.1039/C4TC00672K>
- Moroz N. A., Lopez J. S., Djietedjeu H., Ranmohotti K. G. S., Olvera A. R., Pan P. A., Takas N. J., Uher C., Poudeu P. F. Indium preferential distribution enables electronic engineering of magnetism in $\text{FeSb}_{2-x}\text{In}_x\text{Se}_4$ p-type high- T_c ferromagnetic semiconductors. *Chemical of Materials*. 2016;28(23): 8570–8579. <https://doi.org/10.1021/acs.chemmater.6b03293>
- Haeuseler H., Srivastava S. K. Phase equilibria and layered phases in the systems $\text{A}_2\text{X}_3-\text{M}_2\text{X}_3-\text{M}'\text{X}$ (A = Ga, In; M = trivalent metal; M' = divalent metal; X = S, Se). *Zeitschrift für Kristallographie*. 2000;215(4): 205–221. <https://doi.org/10.1524/zkri.2000.215.4.205>
- Otrokov M. M., Klimovskikh I. I., Bentmann H., Zeugner A., Aliev Z. S., Gass S., Wolter A. U. B., Koroleva A. V., Estyunin D., Shikin A. M., Blanco Rey M., Hoffmann M., Vyazovskaya A. Yu., Ereemeev S. V., Koroteev Y. M., Amiraslanov I. R., Babanly M. B., Mamedov N. T., Abdullayev N. A., Zverev V. N., Büchner B., Schwier E. F., Kumar S., Kimura A., Petaccia L., Di Santo G., Vidal R. C., Schatz S., Kisner K., Min C. H., Moser S. K., Peixoto T. R. F., Reinert F., Ernst A., Echenique P. M., Isaeva A., Chulkov E. V. Prediction and observation of the first antiferromagnetic topological insulator. *Nature*. 2019;576(7787): 416–422. <https://doi.org/10.1038/s41586-019-1840-9>
- Zhang D., Shi M., Zhu T., Xing D., Zhang H., Wang J. Topological axion states in the magnetic insulator MnBi_2Te_4 with the quantized magnetoelectric effect. *Physical Review Letters*. 2019;122(20): 206401(1–6). <https://doi.org/10.1103/PhysRevLett.122.206401>
- Klimovskikh I. I., Otrokov M. M., Estyunin D., Ereemeev S. V., Filnov S. O., Koroleva A., Shevchenko E., Voroshnin V., Rusinov I. P., Blanco-Rey M., Hofmann M., Aliev Z. S., Babanly M. B., Amiraslanov I. R., Abdullayev N. A., Zverev V. N., Kimura A., Tereshchenko O. E., Kokh K. A., Petaccia L., Di Santo G., Ernst A., Echenique P. M., Mamedov N. T., Shikin A. M., Chulkov E. V. Tunable 3D/2D magnetism in the

- (MnBi_2Te_4) $_{1-x}$ (Bi_2Te_3) $_x$ topological insulators family. *npj Quantum Materials*. 2020; 5(54): 1–9. <https://doi.org/10.1038/s41535-020-00255-9>
16. Estyunin D. A., Klimovskikh I. I., Shikin A. M., Schvier E. F., Otrokov M. M., Kumira A., Kumar S., Filnov S. O., Aliev Z. S., Babanly M. B., Chulkov E. V. Signatures of temperature driven antiferromagnetic transition in the electronic structure of topological insulator MnBi_2Te_4 . *APL Materials*. 2020;8(2): 021105(1-7). <https://doi.org/10.1063/1.5142846>
17. He K. MnBi_2Te_4 -family intrinsic magnetic topological materials. *npj Quantum Materials*. 2020;5(1): 90(1-4). <https://doi.org/10.1038/s41535-020-00291-5>
18. Jahangirli Z. A., Alizade E. H., Aliev Z. S., Otrokov M. M., Ismayilova N. A., Mammadov S. N., Amiraslanov I. R., Mamedov N. T., Orudjev G. S., Babanly M. B., Shikin A. M., Chulkov E. V. Electronic structure and dielectric function of Mn-Bi-Te layered compounds. *Journal of Vacuum Science & Technology B*. 2019;37(6): 062910(1-6). <https://doi.org/10.1116/1.5122702>
19. Yuan Y., Wang X., Li H., Li J., Ji Y., Hao Z., Wu Y., He K., Wang Y., Xu Y., Duan W., Li W., Xue Q. Electronic states and magnetic response of MnBi_2Te_4 by scanning tunneling microscopy and spectroscopy. *Nano Letters*. 2020;20(5): 3271–3277. <https://doi.org/10.1021/acs.nanolett.0c00031>
20. Zhou L., Tan Z., Yan D., Fang Z., Shi Y., Weng H. Topological phase transition in the layered magnetic compound MnSb_2Te_4 : Spin-orbit coupling and interlayer coupling dependence. *Physical Review B*. 2020;102: 085114(1-8). <https://doi.org/10.1103/PhysRevB.102.085114>
21. Garrity K. F., Chowdhury S., Tavazza F. M. Topological surface states of MnBi_2Te_4 at finite temperatures and at domain walls. *Physical Review Materials*. 2021;5: 024207(1-6). <https://doi.org/10.1103/PhysRevMaterials.5.024207>
22. Ovchinnikov D., Huang X., Lin Z. ... Xu X. Intertwined topological and magnetic orders in atomically thin chern insulator MnBi_2Te_4 . *Nano Letters*. 2021;21(6): 2544–2550. <https://dx.doi.org/10.1021/acs.nanolett.0c05117>
23. Swatek P., Wu Y., Wang L. L. Gapless dirac surface states in the antiferromagnetic topological insulator MnBi_2Te_4 . *Physical Review B*. 2020;101(16): 161109(1-6). <https://doi.org/10.1103/PhysRevB.101.161109>
24. Zhu T., Bishop A. J., Zhou T., Zhu M., O'Hara D. J., Baker A. A., Cheng S., Walko R. C., Repicky J. J., Liu T., Gupta J. A., Jozwiak C. M., Rotenberg E., Hwang J., Žutic I., Kawakami R. K. Synthesis, magnetic properties, and electronic structure of magnetic topological insulator MnBi_2Se_4 . *Nano Letters*. 2021;21(12): 5083–5090. <https://doi.org/10.1021/acs.nanolett.1c00141>
25. Babanly M. B., Mashadiyeva L. F., Babanly D. M., Imamaliyeva S. Z., Tagiev D. B., Yusibov Yu. A Some issues of complex studies of phase equilibria and thermodynamic properties in ternary chalcogenide systems involving Emf Measurements (Review). *Russian Journal of Inorganic Chemistry*. 2019;64(13): 1649–1671. <https://doi.org/10.1134/S0036023619130035>
26. Kertman A. V., Ruseikina A. V. Phase equilibria in $\text{BaS}-\text{In}_2\text{S}_3$ system. *Russian Journal of Inorganic Chemistry*. 2020;65(11): 1756–1761. <https://doi.org/10.1134/S003602362011008X>
27. Zlomanov V. P., Khoviv A. M., Zavrzhnov A. Yu. Physicochemical analysis and synthesis of nonstoichiometric solids. *Materials Science – Advanced Topics*. 2013, Chapter 5, pp. 103–128. <https://doi.org/10.5772/54815>
28. Mammadov F. M., Amiraslanov I. R., Imamaliyeva S. Z., Babanly M. B. Phase relations in the $\text{FeSe}-\text{FeGa}_2\text{Se}_4-\text{FeIn}_2\text{Se}_4$ system: refinement of the crystal structures of FeIn_2Se_4 and FeGaInSe_4 . *Journal of Phase Equilibria and Diffusion*. 2019;40(6): 787–796. <https://doi.org/10.1007/s11669-019-00768-2>
29. Мамедов Ф. М., Имамалиева С. З., Амিরасланов И. Р., Бабанлы М. Б. Фазовая диаграмма системы $\text{FeGa}_2\text{Se}_4-\text{FeIn}_2\text{Se}_4$ и кристаллическая структура FeGaInSe_4 . *Конденсированные среды и межфазные границы*. 2018;20(4): 604–610. <https://doi.org/10.17308/kcmf.2018.20/633>
30. Mammadov F. M., Amiraslanov I. R., Aliyeva Y. R., Ragimov S. S., Mashadiyeva L. F., Babanly M. B. Phase equilibria in the $\text{MnGa}_2\text{Te}_4-\text{MnIn}_2\text{Te}_4$ system, crystal structure and physical properties of MnGaInTe_4 . *Acta Chimica Slovenica*. 2019;66(2): 466–472. <https://doi.org/10.17344/acsi.2019.4988>
31. Mammadov F. M., Babanly D. M., Amiraslanov I. R., Tagiev D. B., Babanly M. B. $\text{FeS}-\text{Ga}_2\text{S}_3-\text{In}_2\text{S}_3$ system. *Russian Journal of Inorganic Chemistry*. 2021;66(10): 1533–1543. <https://doi.org/10.1134/S0036023621100090>
32. *Binary alloy phase diagrams*. Massalski T. B. (ed.). ASM International, Materials Park, Ohio, USA: 1990. 3875 p.
33. *Phase Diagrams for Binary Alloys*. Okamoto H. (ed.), 2nd Edition. ASM International, Materials Park, Ohio, USA: 2010. 900 p.
34. Mammadov F. M.. New version of the phase diagram of the $\text{MnTe}-\text{Ga}_2\text{Te}_3$ system. *New Materials, Compounds and Applications*. 2021;5(2): 116–121. Печать доступна: <http://jomardpublishing.com/Upload-Files/Files/journals/NMCA/V5N2/MammadovF.pdf>
35. Mammadov F. M. Refinement of the phase diagram of the $\text{MnTe}-\text{In}_2\text{Te}_3$ system. *Azerbaijan Chemical Journal*. 2021;2: 37–41. <https://doi.org/10.32737/0005-2531-2021-2-37-41>

36. Chevalier P. Y., Fischer E., Marbeuf A. A thermodynamic evaluation system of the Mn-Te binary. *Thermochimica Acta*. 1993;223: 51–63. [https://doi.org/10.1016/0040-6031\(93\)80119-U](https://doi.org/10.1016/0040-6031(93)80119-U)

37. Range K.-J., Hubner H.-J. MnGa_2Se_4 and MnGa_2Te_4 . *Zeitschrift für Naturforschung B*. 1976;31(6): 886–887. <https://doi.org/10.1515/ZNB-1976-0632>

38. Cannas M., Garbato A., Garbato L., Ledda F., Navarra G. Crystal growth and structure of MnGa_2Te_4 . *Progress in Crystal Growth and Characterization of Materials*. 1996;32: 171–183. [https://doi.org/10.1016/0960-8974\(95\)00020-8](https://doi.org/10.1016/0960-8974(95)00020-8)

Информация об авторах

Фаик Мамедага Мамедов, PhD по химии, доцент, Институт катализа и неорганической химии, НАН Азербайджана (Баку, Азербайджан).

<https://orcid.org/0000-0003-3317-7438>
faikmamadov@mail.ru

Самира Закир Имамалиева, PhD по химии, доцент, Институт катализа и неорганической химии, НАН Азербайджана (Баку, Азербайджан).

<https://orcid.org/0000-0001-8193-2122>
samira9597a@gmail.com

Ясин Иса Джафаров, д. х. н., доцент, Бакинский государственный университет (Баку, Азербайджан).

<https://orcid.org/0000-0002-6597-2252>
yasin_cafarov@mail.ru

Ихтияр Бахрам Бахтиярлы, д. х. н., профессор, заведующий лабораторией, Институт катализа и неорганической химии, НАН Азербайджана (Баку, Азербайджан).

<https://orcid.org/0000-0002-7765-0672>
ibbakhtiarli@mail.ru

Бабанлы Магомед Баба оглы, д. х. н., профессор, член-корр. НАН Азербайджана, исполняющий директор, Институт катализа и неорганической химии НАН Азербайджана (Баку, Азербайджан).

<https://orcid.org/0000-0001-5962-3710>
babanlymb@gmail.com

Поступила в редакцию 01.02.2022; одобрена после рецензирования 21.04.2022; принята к публикации 15.06.2022; опубликована онлайн 25.09.2022.